



## تعيين معاملات الطفرة الجينية للجين (HPRT1) في خلايا V79 نتيجة التعرض للجسيمات المشحونة البروتونات والديترونات ذات الطاقات المنخفضة

\*أبوبكر علي يوسف و زيدان محمد حوماني

قسم الفيزياء- كلية العلوم- جامعة سبها، ليبيا

E-mail: [Abu.Alghoul@sebhau.edu.ly](mailto:Abu.Alghoul@sebhau.edu.ly)

الملخص من المعروف أن التعرض للإشعاع المؤين للجسيمات المشحونة ربما ينتج عنه حدوث العديد من الأضرار البيولوجية [1] ولتقدير الضرر البيولوجي الحاصل في الخلية الحية [2] يجب تحديد الخصائص النوعية للإشعاع المؤين [3] وكذلك خصائص الإستجابة للمادة البيولوجية المعرضة قبل عملية التعرض وبعدها. استخدمت في هذا البحث طريقة الإستكمال للبيانات المفقودة لحساب البارامترات الفيزيائية [4] أما البارامترات البيولوجية فقد تم تعينها إعتماداً على منحنيات الإستجابة المنشورة للجرعة الإشعاعية-ضرر الطفرة الجينية في الجين (HPRT1) لخلايا V79 [5] نتيجة للتعرض لجسيمات البروتونات والديترونات ذات الطاقات المنخفضة. من خلال هذا البحث وجد أن بارامتر متوسط المسار الحر يمثل أفضل بارامتر فيزيائي للتعبير عن الخصائص النوعية للجسيمات المشحونة (بروتونات والديترونات) [6] وكذلك في تعيين معاملات التطهير للطفرة الجينية (HPRT1) الواقعة في الخلايا V79. إعتماداً على بارامتر متوسط المسار الحر [7] وجد أن معاملات الطفرة الجينية تساوي 69% نتيجة التعرض لجسيمات البروتونات [8] بينما تساوي 83% نتيجة التعرض لجسيمات الديترونات عند المستويات المنخفضة للطاقة.

الكلمات المفتاحية: الطفرة الجينية (HPRT1) معامل الطفرة الجينية.

### Determination of Mutagenicity Factor of Mutation Induction in (HPRT1) Gene in V79 Cells As a Result of Exposure to Protons and Deuterons

\*Abubaker Ali Yousif , Zidan Mohamad Houmani  
Department of Physics, Faculty of Science, University of Sebha, Libya

\*Corresponding author: [Abu.Alghoul@sebhau.edu.ly](mailto:Abu.Alghoul@sebhau.edu.ly)

**Abstract** It is well established that the exposure to ionizing radiation may lead to production of many biological lesions. To quantify this lesions which occur in living cells, one needs to specify the specifications of ionizing radiation quality from charged particles, and the response properties of the irradiated biological material. In this research, the interpolation method was applied to determine the missing values of physical parameters, while the biological parameters were determined based on the dose-response curves published in the literature for mutations occurred in Hypoxanthine Phosphoribosyl Transferase gene one (HPRT1 ) in V79 cells exposed in vitro for low energies protons and deuterons. The findings were that the mean free path for linear primary ionization represents the best physical quality parameter in determining the Mutagenicity factor of light charged particles (protons and deuterons). While the Mutagenicity factors, determined based on this parameter, for protons and deuterons were equal to 69% and 83% respectively.

**Keywords:** HPRT1 mutation, Physical Parameters, Mutagenicity Factors.

### المقدمة

المشحونة) كدالة لخصائص الإشعاع المؤين للجسيمات المشحونة والجرعة الإشعاعية المؤثرة عند مستويات الطاقة المنخفضة غير معروفة بشكل دقيق [2]. وبالرغم من معرفتنا أن الجرعات الكبيرة قد تكون قاتلة بشكل كبير إلا أن الجرعات الأخرى تعتبر في غاية الأهمية عند دراسة طرق الوقاية من الإشعاع المؤين للجسيمات المشحونة.

استخدام الجرعة الإشعاعية الممتصه (absorbed dose) كبارامتر لتقدير التأثير البيولوجي للإشعاع المؤين يعتبر غير مناسب وخصوصاً عند استخدام هذا البارامتر لتقدير الضرر البيولوجي عند مستويات الطاقة المنخفضة [3] وذلك بسبب الطبيعة

إن أحد المشاكل الرئيسية التي تواجه قياسات الجرعة الإشعاعية الناتجة عن الجسيمات المشحونة في التطبيقات المختلفة للمصادر الإشعاعية وتأثيراتها البيولوجية [4] والتي يمكن أن تكون لها علاقة مباشرة بالضرر الحاصل في الحمض النووي (DNA) [5] يمكن في معرفة خصائص النوعية للإشعاع المؤين للجسيمات المشحونة [6] وكذلك خواص المادة البيولوجية المعرضة قبل عملية التعرض وبعدها. صعوبة فهم هذه العلاقة يتمثل في أن المادة البيولوجية التي يمكن أن تتعرض للإشعاع المؤين للجسيمات المشحونة هي مادة غير متغيرة التركيب. إن التأثيرات البيولوجية للأشعة ذات التأثير الكثيف (الجسيمات

إن محصلة عملية الإثارة والتآين في الوسط البيولوجي الناتجة عن مرور الجسيم المشحون خلال هذا الوسط تكون نتيجة لوضع مقدار معين من الطاقة. فالخاصية الأساسية التي تحدد نوعية الإشعاع المؤين الناتجة عن هاتين العمليتين [٣] هما بارامتر الطاقة الخطية المنتقلة (LET): والذي يعرف بأنه مقدار متوسط الطاقة الموضوعة في الوسط البيولوجي لكل وحدة مسار طولي في هذا الوسط. وتعتبر الطفرات الجينية الواقعة في الخلايا الحية أحد النهايات البيولوجية الناتجة عن تأثير الإشعاع المؤين للجسيم المشحون [٤] والتي تنشأ نتيجة لسلسلة طويلة من الأحداث الناتجة عن عملية وضع الطاقة في الوسط [١١].

إن بارامتر الطاقة الخطية المنتقلة المقيدة (LET<sub>5</sub>) يعتبر أيضاً أحد البارامترات الفيزيائية المستخدمة لوصف نوعية الإشعاع المؤين [١٢] ويعرف هذا البارامتر بأنه مقدار متوسط الطاقة الخطية المنتقلة عند قيمة معينة  $\Delta$  تسمى بقيمة القطع للطاقة المنتقلة عن طريق الإلكترون الثنائي (أشعة الدلتا) الناتج عن التآين الرئيسي من الجسيم المشحون. فعندما يكون للإلكترون الثنائي القدرة على إنتاج أكثر من أربعة أزواج أيونية فإن هذه الأزواج تسمى بأشعة الدلتا (δ-Rays) أو الجذور الحرّة [١٣]. فإذا حدثت عملية التآين داخل وسط ماء مثل الخلية الحية فإن بعض من أشعة الدلتا سوف تغادر الخلية لوضع جزء من الطاقة على الأقل في مكان آخر خارج الخلية [٥] لذلك عند استخدام هذا البارامتر في دراسة التأثيرات البيولوجية فإن قيمة طاقة القطع ( $\Delta$  eV) يجب أن يتم اختيارها بدقة لتناسب الحجم الذي يتم دراسته [١٤]. ففي هذه الدراسة استخدمت قيمة طاقة القطع التي تناسب مع حجم الخلية الحية والتي تساوي تقريباً 100eV [١٥]. إن أحد التأثيرات المهمة للأشعة المؤينة للجسيمات المشحونة هي ضرر الطفرة الجينية [٦] وهذا الضرر ينشأ على المستوى الجيني للحمض النووي المسؤول عن حمل الصفات الوراثية في الخلية.

إن أحد أنواع الطفرات الجينية والتي تحدث في الجينات المعروفة هي بوزانتين فسفوريبيوسيل ترانسفيريز والمعرفة بإختصاراً (HPRT1) وهذا الجين يوجد في الكروموسوم رقم (q) X long arm [١٦] وهذه الطفرة الجينية تستخدم كأحد العلامات-البيولوجية المهمة للأضرار البيولوجية التي تحدث على المستوى الجيني للحمض النووي نتيجة للتأثيرات الإشعاعية.

إن الهدف من هذه الدراسة هو إيجاد علاقة نوعية (بين أفضل بارامترات بيوفيزيائيه) يمكن من خلالها تفسير حدوث الطفرة الجينية (HPRT1) الحاصلة في خلايا V79 [٧] نتيجة للتعرض

العشوانية للتفاعل الإشعاعي مع الوسط الخلوي وعدم انتظام عملية توزيع الطاقة المفقودة داخل هذا الوسط والتي لا يمكن أخذها في الإعتبار عند استخدام هذا البارامتر [٣].

توجد هناك عدة نماذج بيوفيزيائية لوصف التأثير الإشعاعي للجسيمات المشحونة على المستوى الخلوي؛ مثل نموذج الهدف الواحد ونموذج الأهداف المتعددة والنماذج الخطية التربيعي ونموذج الإصلاح التشعبي [٨-١٠]. كل نموذج من هذه النماذج يستخدم بارامتر فيزيائي وصفى معين لمجال الإشعاع المؤين للجسيمات المشحونة [٩] بالإضافة إلى بارامترات نوعية الإشعاع؛ مثل نوع الإشعاع وطاقة الإشعاع (E) [١١] بارامتر متوسط الطاقة (W) [١٢] بارامتر الطاقة الخطية المنتقلة (LET) [١٣] بارامتر الطاقة الخطية المنتقلة المقيدة (LET<sub>100</sub>) [١٤] وبارامتر متوسط المسار الحر (λ).

إن من الضروري إيجاد طريقة مثلى لبناء علاقة إستجابة للتآثير البيولوجي للإشعاع المؤين للجسيمات المشحونة على المستوى الخلوي [١٥] وهذا يمكن أن يتم بإيجاد تصور رياضي يكون له معنى فيزيائي يمكن من خلاله تفسير الضرر الإشعاعي الحادث على المستوى الخلوي [١٦] وهذا التصور يتم صياغته بدلالة البارامترات البيوفيزيائية [١٧] التي يتم دمجها في علاقة رياضية وجعلها نهذجاً لإيجاد منحنى إستجابة للضرر الحاصل على المستوى الخلوي أو الجيني. حيث يجب أن يعطى البارامتر المناسب إرتباطاً جيداً للبيانات البيوفيزيائية الممثلة لهذه العلاقة.

يجب أن يكون البارامتر الفيزيائي المناسب لتصويف نوعية الإشعاع المؤين لا يمثل المتوسط فقط ولكن يجب أن يمثل أيضاً مقدار الإنحراف في الطاقة المودعة لكل جسيم مشحون يمر خلال الموقع الميكروسكوبى للهدف البيولوجي. ولقد تم تعين وحساب مجموعة من البارامترات الفيزيائية التي تصف مجال الإشعاع المؤين للجسيمات المشحونة عند تفاعلها مع الماء كوسط بيولوجي مناسب [٩,٨,٧]. عند مرور جسيم مشحون خلال الوسط فإن التأثيرات الفيزيائية والكميائية والبيولوجية يمكن أن تختلف أيضاً على بارامتر التآين النوعي على طول المسار (الأثر) الذي يعمله الجسيم المشحون في الوسط. وكذلك فإن الطاقة المفقودة من هذا الجسيم خلال الوسط يمكن حسابها بعدة طرق؛ أحد هذه الطرق هو حساب بارامتر التآين النوعي وهو عبارة عن عدد أزواج الأيونات المتكونة لكل وحدة مسار طولي من أثر الجسيم المشحون [١٨] ويستخدم هذا البارامتر عادة عندما تكون الطاقة المفقودة من الجسيم المشحون مستقرة وثابتة [١٩].

$$\lambda[\text{nm}] = \lambda_1 - \left[ \left( \frac{\lambda_2 - \lambda_1}{I_2 - I_1} \right) \times (I_2 - I) \right]$$

حيث يمثل  $\lambda$  بارامتر متوسط المسار الحر للجسيم المشحون المراد حسابه. أما  $\lambda_1$  و  $\lambda_2$  هي عناصر في متوسط المسار الحر للجسيم المشحون  $\lambda$ . أما  $I(nm^{-1})$  يمثل بارامتر التأين الرئيسي للجسيم المشحون ما  $I_1$  و  $I_2$  هي عناصر في التأين الرئيسي للجسيم المشحون  $I$ .

اما البارامترات البيولوجية التي تعبّر عن ضرر الطفرة الجينية (*HPRT1*) فقد حسبت هذه البارامترات إعتماداً على منحنيات ضرر الطفرة الجينية وعلاقتها بالجرعة الإشعاعية وفق المعدلات الآتية:

$$\alpha \text{ (Gy}^{-1}\text{)} = \frac{dY}{dD} \Big|_{D \approx 0} = \frac{Y_2 - Y_1}{D_2 - D_1} \Big|_{D \approx 0}$$

حيث يمثل الحد الميل الابتدائي لمنحنى الضرر  $\frac{dY}{dD}|_{D \leq 0}$  للجرعة الإشعاعية للجسيم المشحون عند الطاقات المنخفضة  $\alpha$  والذي يمثل عدد الطفرات الحادثة في الجين HPRT1 لخلايا V79 عند هذه المنطقة. ( $Gy^{-1}$ ) يمثل الحساسية الإشعاعية أحديواث الطفرة الجينية: عدد الطفرات الجينية الناتجة ( $Y$ ) لوحدة الجرعة الإشعاعية ( $D$ ).

يمكن تعين معامل الطفره الجينية ( $R$ ) من العلاقة التالية:

$$R = \frac{\alpha_m}{\alpha_0}$$

حيث  $\alpha_m$  تمثل أقصى حساسية إشعاعية أما  $\alpha_0 = 6.63 \times 10^{-5} \text{Gy}^{-1}$  (الحساسية الإشعاعية) ويمثل قيمة التشبع للحساسية الإشعاعية وقد حسبت هذه القيمة عندما كانت المساحة المقطع الهندسي لخلية V79 (LET=100keV/ $\mu\text{m}$ ) متساوياً تقريباً  $110\mu\text{m}^2$ .

بعد تأسيس قاعدة للبيانات البيوفيزيانية والتي تضم كلاً من البارامترات الفيزيائية والبارامترات البيولوجية المتعلقة بضرر الطفرة الجينية الحاصلة في الجين (*HPRT1*) لخلايا V79 تم تحليل هذه البيانات باستخدام برنامج التحليل سقماً بلوت [22] على ثلاث خطوات، أولاً: يجاد العلاقة البيانية بين بارامتر الحساسية الإشعاعية لضرر الطفرة الجينية الذي يمثلها البارامتر  $(\text{Gy}^{-1})^\alpha$  وجميع البارامترات الفيزيائية التي تعبر عن الخصائص النوعية لجسيمات البروتونات والديترونات. ثانياً: يجاد نوع العلاقة بين بارامتر الحساسية الإشعاعية للطفرة الجينية  $(\text{Gy}^{-1})^\alpha$  وجميع البارامترات الفيزيائية التي تعبر عن الخصائص النوعية لجسيمات البروتونات والديترونات. ثالثاً: منذجة هذه العلاقات للحصول على أفضل علاقة مميزة يمكن حلاتها تفسر ميكانيكية حدوث ضرر الطفرة الجينية في

للبروتونات والديترونات عند مستويات الطاقة المنخفضة وبالتالي الحصول على منحنى إستجابة للطفرة الجينية والذى يمكن جعله نموذجاً لتعيين معاملات التطفيير للطفرة الجينية (HPRT1) الواقعة في خلايا V79 وكذلك إمكانية التباين بحدوث هذه الطفرات الجينية عند التعرض للإشعاع المؤين للجسيمات المشحونة (البروتونات و الديترونات) في حقول إستخدام هذه الأشعة.

منصة البحث

دراسة ضرر الطفرة الجينية الحاصلة في الجين (HPRT1) لخلايا V79 نتيجة تعرض هذه الخلايا للأشعة المؤينة من البروتونات والديترونات في خارج الجسم تم تأسيس قاعدة بيانات بيوفيزيانية تضم كلا من البارامترات الفيزيائية التي تصف مجال الإشعاع المؤين لجسيمات البروتونات والديترونات وكذلك البارامترات البيولوجية التي تصف ضرر الطفرة الجينية الواقعة في الخلايا V79 والتي عرضت خارج جسم الكائن الحي (in vitro) في عدة مختبرات للبيولوجيا الإشعاعية [17, 18, 19, 20].

حيث تم حساب البارامترات الفيزيائية عن طريق استخدام قاعدة الإستكمال الرياضي للبيانات المراد حسابها لهذه البارامترات في وسط الماء والذي أعتبر كوسط مناسب (مطابق) للوسط الخلوي [21].

حسب بار امتر الطاقة الخطية المنتقلة من المعادلة التالية:

$$\text{LET(keV}/\mu\text{m}) = \text{LET}_1 - \left[ \frac{(\text{LET}_2 - \text{LET}_1)}{\text{E}_2 - \text{E}_1} \times (\text{E}_2 - \text{E}) \right]$$

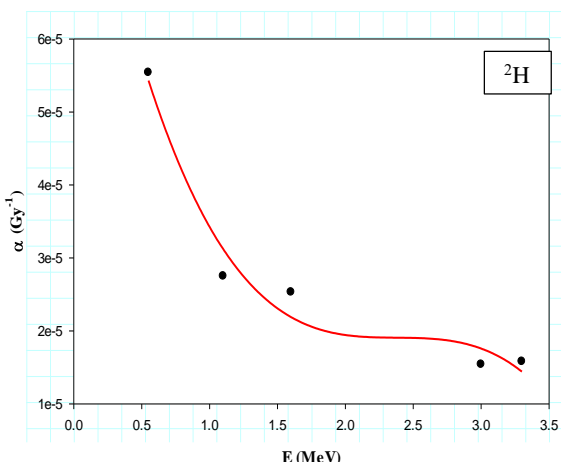
حيث يمثل LET بارامتر الطاقة الخطية المنتقلة المراد حسابه.  
أما  $E_1$  و  $E_2$  هي عناصر في طاقة الجسيم المشحون  $E$   
وأما  $LET_1$  و  $LET_2$  هي عناصر في الطاقة الخطية  
المنتقلة .  $LET$

أما بارامتر الطاقة الخطية المتنقلة المقيدة  $LET_{100}$  تم حسابه من المعادلة التالية:

$$\begin{aligned} \text{LET}_{100}(\text{keV}/\mu\text{m}) &= (\text{LET}_{100})_1 \\ &\quad - \left[ \left( \frac{(\text{LET}_{100})_2 - (\text{LET}_{100})_1}{E_2 - E_1} \right) \right. \\ &\quad \times (E_2 - E) \end{aligned}$$

حيث يمثل  $LET_{100}$  بارامتر الطاقة الخطية المتنقلة المقيدة المراد حسابه. أما  $E_1$  و  $E_2$  هي عناصر في طاقة الجسيم المشحون  $\Sigma E$  وأما  $(LET_{100})_1$  و  $(LET_{100})_2$  هي عناصر في الطاقة الخطية المتنقلة المقيدة  $ELT_{100}$ .

أما بارامتر متوسط المسار الحر للجسيم المشحون  $\lambda$  تم حسابه من المعادلة التالية:

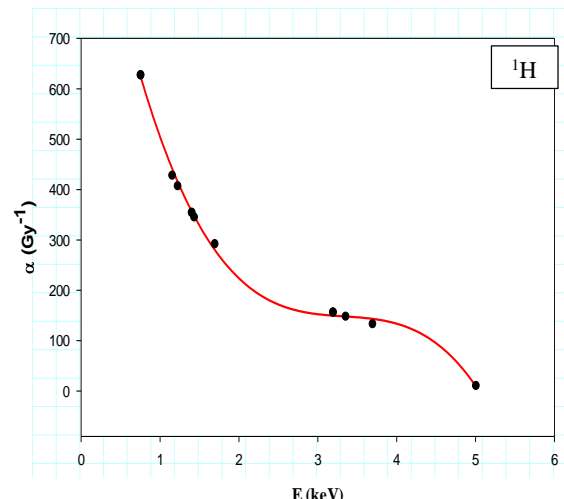


الشكل (1-3) يمثل العلاقة بين بارامتر الحساسية الإشعاعية للطفرة الجينية ( $Gy^{-1}$ ) وبارامتر الطاقة الخطية المنتقلة لجسيمات البروتون. نلاحظ من الشكل (keV/ $\mu m$ ) LET الليباني أن هناك علاقة شبه خطية تزايدية بين هاذين البارامترتين. أي أنه كلما زادت الطاقة الخطية المنتقلة والمودعة في الخلية من جسيم البروتون يزداد عدد الطفرات الجينية الناتجة لكل وحدة جرعة. وكذلك نحصل تقريباً على نفس العلاقة بين كل من بارامتر الحساسية الإشعاعية للطفرة الجينية ( $Gy^{-1}$ ) وبارامتر الطاقة الخطية المنتقلة (keV/ $\mu m$ ) LET لجسيمات الديترون<sup>1</sup> كما موضح في الشكل (1-4). إن هاذين البارامترتين أيضاً لا يمكن الاعتماد عليهما في تفسيراً عملية حدوث الطفرة الجينية (HPRT1) الحادثة في خلايا V79. وذلك نتيجة لاعتماد بارامتر الطاقة الخطية المنتقلة على طاقة الجسيم<sup>2</sup> وكذلك أيضاً نتيجة لوجود قيمتين مختلفتين لبارامتر الحساسية الإشعاعية عند نفس القيمة للطاقة الخطية المنتقلة المقيدة بالنسبة للبروتونات (شكل 1-3). أما بالنسبة للديترونات نجد أن هناك قيمة واحدة لبارامتر الحساسية الإشعاعية للطفرة الجينية عند قيمتين مختلفتين لبارامتر الطاقة الخطية المنتقلة.

خلايا V79 نتيجة التعرض لجسيمات البروتونات والديترونات. وكذلك تعين معاملات التطهير والتي تمثل إمكانية حدوث الطفرة الجينية.

النتائج والمناقشة

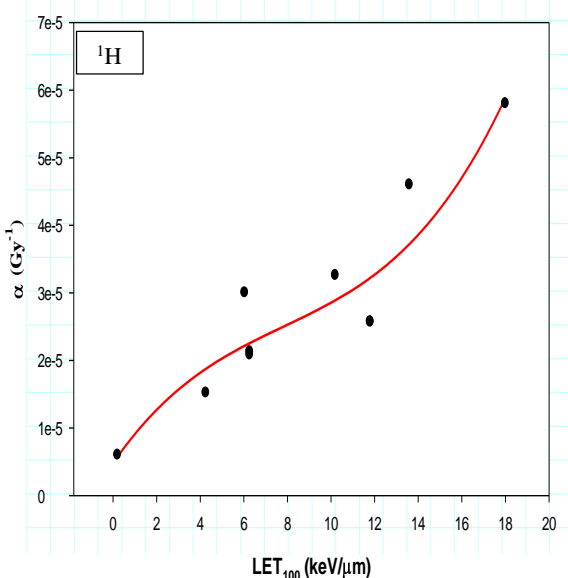
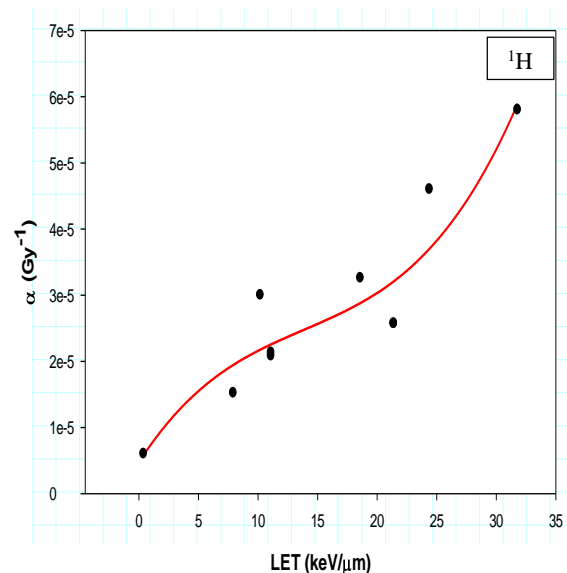
الشكل (1-1) يمثل العلاقة بين بارامتر الحساسية الإشعاعية للطفرة الجينية ( $Gy^{-1}$ ) وبارامتر الطاقة (keV) لجسيمات البروتون. نلاحظ من الشكل البياني أن هناك علاقة عكسية تناقصية بين هاذين البارامترتين. أي أنه كلما شكل (1-2): العلاقة بين بارامتر الحساسية الإشعاعية الناتج للطفرة الجينية ( $Gy^{-1}$ ) وبارامتر الطاقة E(keV) العا للديبوترونات كما موضح في الشكل (1-2). إن هاذين البارامترتين لا يعطيان تفسيرا واضحا لعملية حدوث الطفرة الجينية (*HPRT1*).  
 .V79 الحادثة في خلايا



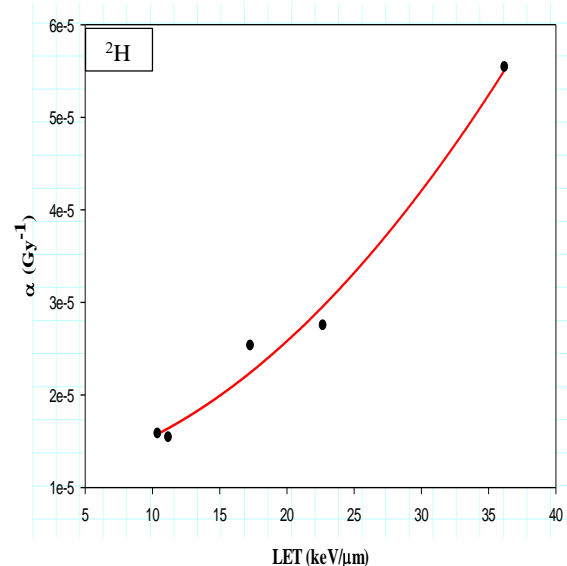
**شكل (1-1):** العلاقة بين بارامتر الحساسية الإشعاعية للطفرة الجينية ( $Gy^{-1}$ )  $\alpha$  وبارامتر الطاقة  $E(\text{keV})$

الجينية الناتجة لكل وحدة جرعة. وكذلك نتحصل تقربياً على نفس العلاقة بين كل من بارامتر الحساسية الإشعاعية للطفرة الجينية ( $\alpha$ ) وبارامتر الطاقة الخطية المنتقلة المقيدة  $LET_{100}$  (keV/ $\mu m$ ) لجسيمات الديترون [6] كما موضح في الشكل (1-6). إن هاذين البارامترتين أيضاً لا يمكن الإعتماد عليهما في تفسيراً عملياً حدوث الطفرة الجينية (*HPRT1*) الحادثة في خلايا V79 نتيجة لوجود قيمتين لبارامتر الحساسية الإشعاعية عند نفس القيمة للطاقة الخطية المنتقلة المقيدة بالنسبة للبروتونات (شكل 1-5). أما بالنسبة للديترونات نجد أن هناك قيمة واحدة لبارامتر الحساسية الإشعاعية للطفرة الجينية عند قيمتين مختلفتين لبارامتر الطاقة الخطية المنتقلة المقيدة (شكل 1-6).

شكل (3-1): العلاقة بين بارامتر الحساسية الإشعاعية للطفرة الجينية ( $\alpha$ ) وبارامتر الطاقة الخطية المنتقلة المقيدة  $LET$  (keV/ $\mu m$ ) للبروتونات

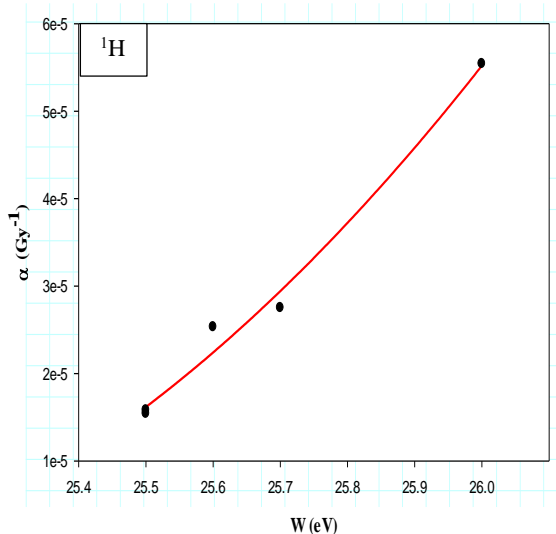


شكل (5-1): العلاقة بين بارامتر الحساسية الإشعاعية للطفرة الجينية ( $\alpha$ ) وبارامتر الطاقة الخطية المنتقلة المقيدة  $LET_{100}$  (keV/ $\mu m$ ) للبروتونات

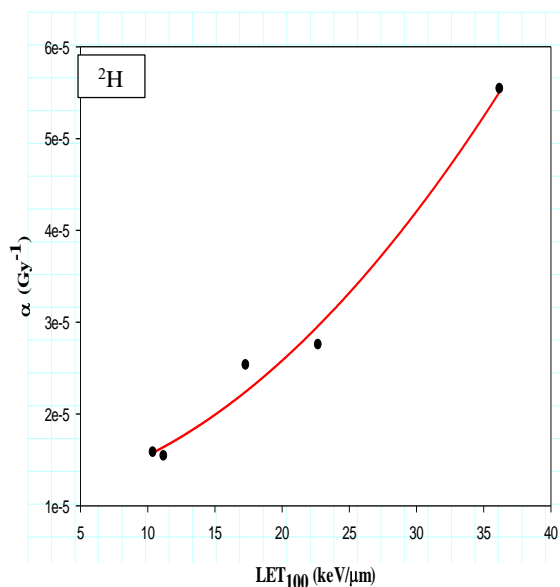


شكل (4-1): العلاقة بين بارامتر الحساسية الإشعاعية للطفرة الجينية ( $\alpha$ ) وبارامتر الطاقة الخطية المنتقلة المقيدة  $LET$  (keV/ $\mu m$ ) للديترونات

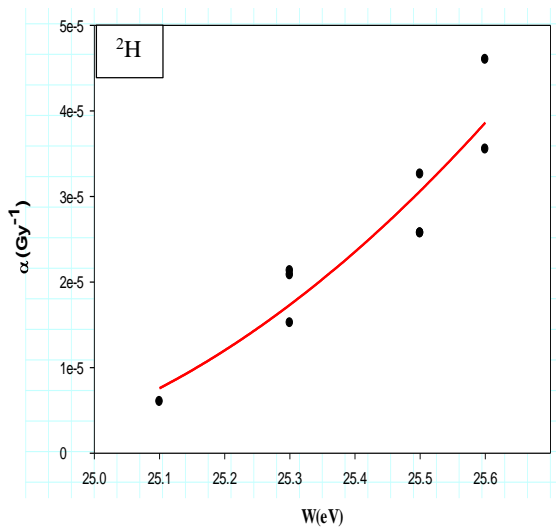
الشكل (5-1) يمثل العلاقة بين بارامتر الحساسية الإشعاعية للطفرة الجينية ( $\alpha$ ) وبارامتر الطاقة الخطية المنتقلة المقيدة  $LET_{100}$  (keV/ $\mu m$ ) لجسيمات البروتون. نلاحظ من الشكل البياني أن هناك علاقة شبه خطية تزايدية بين هاذين البارامترتين. أي أنه كلما زادت الطاقة الخطية المنتقلة المقيدة والمودعة في الخلية من جسيم البروتون يزداد عدد الطفرات



شكل (7-1): العلاقة بين بارامتر الحساسية الإشعاعية للطفرة الجينية ( $Gy^{-1}$ )  $\alpha$  وبارامتر متوسط الطاقة  $W(eV)$  للبروتونات



شكل (6-1): العلاقة بين بارامتر الحساسية الإشعاعية للطفرة الجينية ( $Gy^{-1}$ )  $\alpha$  وبارامتر الطاقة الخطية المنقلة المقيدة  $LET_{100}(keV/\mu m)$  لليدروتونات



شكل (8-1): العلاقة بين بارامتر الحساسية الإشعاعية للطفرة الجينية ( $Gy^{-1}$ )  $\alpha$  وبارامتر متوسط الطاقة  $W(eV)$  للديهتروتونات

الشكل (9-1) يمثل العلاقة بين بارامتر الحساسية الإشعاعية للطفرة الجينية ( $Gy^{-1}$ )  $\alpha$  وبارامتر متوسط المسار الحر (nm)  $\lambda$  لجسيمات البروتون. نلاحظ من الشكل البياني أن هناك علاقة عكssية تناقصية بين هاذين البارامترتين. أي أنه كلما زادت متوسط المسار الحر (متوسط المسافة بين تأثبيتين متتاليتين) لجسيم البروتون يتناقص عدد الطفرات الجينية الناجمة لكل وحدة جرعة. وكذلك نحصل تقريباً على نفس العلاقة بين كل من بارامتر الحساسية الإشعاعية للطفرة الجينية ( $Gy^{-1}$ )  $\alpha$  وبارامتر متوسط المسار الحر (nm)  $\lambda$  لجسيمات الديهتروتون كما موضح في الشكل (8-1). نلاحظ من الشكلين أن هناك علاقة جيدة نتيجة الارتباط الجيد للبيانات الممتلأة [1] والتي تعطي

الشكل (7-1) يمثل العلاقة بين بارامتر الحساسية الإشعاعية للطفرة الجينية ( $Gy^{-1}$ )  $\alpha$  وبارامتر متوسط الطاقة (eV)  $W$  لجسيمات البروتون. نلاحظ من الشكل البياني أن هناك علاقة خطية تزايدية بين هاذين البارامترتين. أي أنه كلما زاد متوسط الطاقة لجسيم البروتون يزداد عدد الطفرات الجينية الناجمة لكل وحدة جرعة. وكذلك نحصل تقريباً على نفس العلاقة بين كل من بارامتر الحساسية الإشعاعية للطفرة الجينية ( $Gy^{-1}$ )  $\alpha$  وبارامتر متوسط الطاقة (eV)  $W$  لجسيمات الديهتروتون [1] كما موضح في الشكل (8-1). إن هاذين البارامترتين أيضاً لا يمكن الإعتماد عليهما في تفسيراً عملية حدوث الطفرة الجينية في الجين (HPRT1) في خلية V79 نتيجة للتشتت الكبير في البيانات وكذلك وجود قيمتين لبارامتر الحساسية الإشعاعية عند نفس القيمة لبارامتر متوسط الطاقة كما موضح في الشكل (8-1) بالنسبة لجسيمات الديهتروتون.

الطفرة الجينية (*HPRT1*) للديترونات يساوي  $R= 83\%$  حيث حسبت هذه القيمة عند متوسط مسار حر للديترونات والذي يساوي  $2.8 \text{ nm}$  وهذا التأين الناتج عن الديترونات يحصل الى حد ماء خارج شريطي الحمض النووي وربما يكون لأشعة الدلتا هنا دورا في حدوث عملية القطع الثنائي لشريطي الحمض النووي والذي بدوره يؤدي الى حدوث الطفرة الجينية (*HPRT1*) في الكروموسوم ولكن بطريقة غير مباشرة.

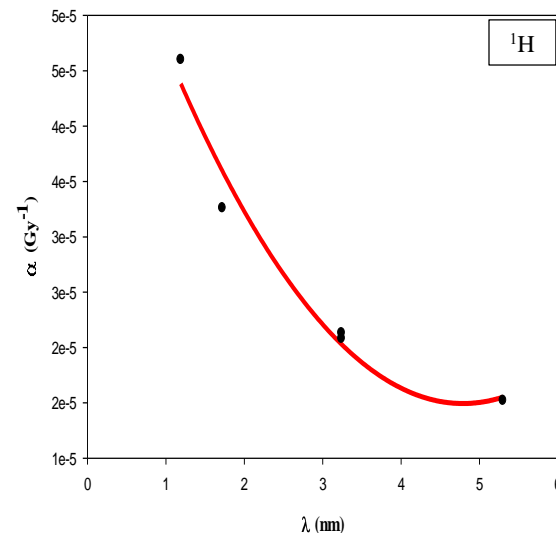
#### الاستنتاج:

لقد وجدنا من خلال هذا البحث أن معامل الطفرة الجينية (*HPRT1*) الحاصلة في كروموسومات خلايا V79 نتيجة التعرض للجسيمات المشحونة للديترونات يكون أكبر من معامل الطفرة الجينية (*HPRT1*) الحاصلة في كروموسومات خلايا V79 نتيجة التعرض للجسيمات المشحونة للبروتونات بمقدار تقريري واحد وربع مرة عند المستويات المنخفضة للطاقة. وهذه النتيجة منطقية جدا على اعتبار أن الديترون يمتلك كثافة وشحنة أكبر من البروتون [٣] ولكن نستنتج أن للبروتونات القرة الأكبر على توزيع الطاقة (إجراء عملية التأين) في مسافات أصغر من متوسط المسافة بين شريطي الحمض النووي ولكن نسبة الضرر تكون أقل منها في حالة الديترونات.

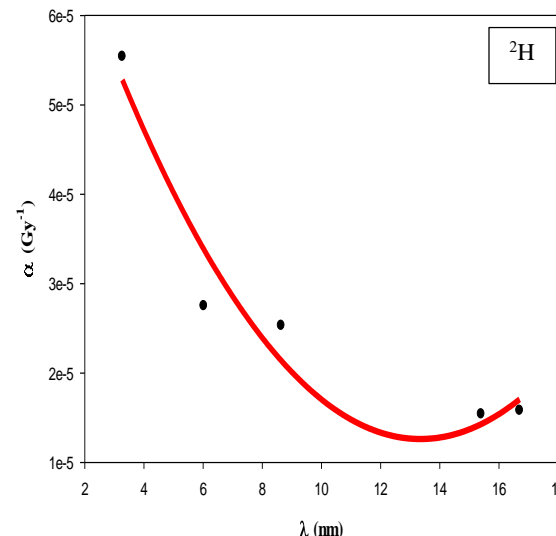
#### المراجع:

- [1]- Wei, H. and Yu, K. (2010). Ionizing Radiation, DNA Double Strand Break and Mutation. In: Advances in Genetics Research. Volume 4. Nova Science Publishers, Inc.
- [2]- Simmons, J. A. & Watt, D. E. (1999). Radiation Protection Dosimetry: A radical Reappraisal. Madison, Wisconsin: Medical Physics Publishing.
- [3]- Simmons, J. A. & Watt, D. E. (1999). Radiation Protection Dosimetry: A radical Reappraisal. Madison, Wisconsin: Medical Physics Publishing.
- [4]- Eric, J. Hall, (1994). Radiobiology for Radiologist, Library of Congress Cataloging-in-Publication Data, Fourth Edition.
- [5]- Lea, D. E. (1955). Action of Radiation on Living Cells. 2<sup>nd</sup> Ed. New York: Cambridge University Press.
- [6]- Eric, J. Hall, (2005). Radiobiology for Radiologist, Library of Congress Cataloging-in-Publication Data, Fourth Edition.

تفسيرا مناسبا لميكانيكية حدوث الطفرة الجينية في خلايا V79 أعتمادا على بارامتر متوسط المسار الحر للتأين الرئيسي للجسيم المشحون.



شكل (9-1): العلاقة بين بارامتر الحساسية الإشعاعية للطفرة الجينية ( $\alpha$   $\text{Gy}^{-1}$ ) وبارامتر متوسط المسار الحر  $\lambda$ (nm) للبروتونات



شكل (10-1): العلاقة بين بارامتر الحساسية الإشعاعية للطفرة الجينية ( $\alpha$   $\text{Gy}^{-1}$ ) وبارامتر متوسط المسار الحر  $\lambda$ (nm) للديوترونات

حيث نستنتج من الشكلين (9-1 و 10-1) أن قيمة معامل الطفرة الجينية (*HPRT1*) للبروتونات يساوي  $R=69\%$  وحسبت هذه القيمة عند متوسط مسار حر للبروتون يساوي  $1.19 \text{ nm}$  وهذا التأين الناتج عن البروتونات يحصل بين شريطي الحمض النووي والذي حتما يؤدي الى حدوث قطع ثانوي لشريطي الحمض النووي والذي بدوره يؤدي الى حدوث الطفرة الجينية (*HPRT1*) في الكروموسوم. قيمة معامل

- [12]- Hall E. J. (2000). Radiobiology for Radiologist. Philadelphia: Lippincott Williams and Wilkins.
- [13]- Kudryashov Y. B. (2008). Radiation Biophysics (Ionizing Radiations). New York: Nova Science.
- [14]- Harder D. (1994). Restricted LET Remains a Good Parameter of Radiation Quality. *Radiat. Prot. Dosimetry*. 23(1/4): 79-82.
- [15]- Bao, C.-Y., Ma, A.H., Evans, H.H., Horong, M.F., Mencel, J., Hui, T. E. and Sedwick, W.D., (1995), Molecular analysis of hypoxanthine phosphoribosyltransferase gene deletions induced by  $\alpha$ - and X-radiation in human lymphoblastoid cells, *Mutation Research*, 326, 1-15.
- [16]- Belli, M., Cera, F., Cherubini, R., Ianzini, F., Saporà, O., Simone, G., Tabocchini, M. and Tiveron, P., (1991), Mutation induction and RBE-LET relationship of low energy protons in V79 cells. *International Journal of Radiation Biology*, 59, 459-564.
- [17]- Belli, M., Cera, F., Cherubini, R., Ianzini, F., Moschini, G., Saporà, O., Simone, G., Tabocchini, M. A. and Tiveron, P., (1992), RBE-LET relationship for survival and mutation induction of V79 cells irradiated with low energy protons: re-evaluation of the LET values at the LNT facility. *International Journal of Radiation Biology*, 61, 145-146.
- [18]- Belli, M., Cera, F., Cherubini, R., Haque, M. A., Ianzini, F., Moschini, G., Saporà, O., Simone, G., Tabocchini, M. A. and Tiveron, P., (1993), Inactivation and mutation induction in V79 cells by low energy protons: re-evaluation of the results at the LNL facility. *International Journal of Radiation Biology*, 63, 331-337.
- [19]- Belli, M., Cera, F., Cherubini, R., Vecchias, M. Dalla, Haques, A. M. I., Ianzini, F., Moschini, G., Saporà, O., Simone, G., Tabocchini, M. A. and Tiverons, P., (1998), RBE-LET relationships for cell inactivation and mutation induced by low energy protons in V79 cells: further results at the LNL facility. *International Journal of Radiation Biology*, 72, 111-117.
- [20]- Belli, M., Cera, F., Cherubini, R., Vecchias, M. Dalla, Haques, A. M. I., Ianzini, F., Moschini, G., Saporà, O., Simone, G., Tabocchini, M. A. and Tiverons, P., (1998), RBE-LET relationships for cell inactivation and mutation induced by low energy protons in V79 cells: further results at the LNL facility. *International Journal of Radiation Biology*, 72, 111-117.
- [21]- Watt, D. E., (1996). Quantities for Dosimetry of Ionizing Radiations in Liquid Water. N.p.: Tylor and Francis.
- [22]- Lehnert, S., (2007). Biomolecule Action of Ionizing Radiation. Tylor and Francis Group, LLC.
- [23]- Valentin, J., (2006). Low Dose Extrapolation of Radiation-Related Cancer Risk. Elsiver.
- [24]- Hendee W. R. and Edwards F. M. (1996). Health Effects of Exposure to Low-Level Ionizing Radiation. Published by Institute of Physics Publishing, London.
- [25]- Chen C. Z. and Watt D. E. (1985). Biophysical Mechanisms of Damage by Fast Ions to Mammalian Cells in Vitro. *Phy. Med. Biol.* 30(3): 255-258.
- [26]- Harder D. (1988). Restricted LET Remains a Good Parameter of Radiation Quality. *Radiat. Prot. Dosimetry*. 23(1/4): 79-82.
- [27]- Watt, D. E., (1996). Quantities for Dosimetry of Ionizing Radiations in Liquid Water. N.p.: Tylor and Francis.
- [28]- Lehnert, S., (2007). Biomolecule Action of Ionizing Radiation. Tylor and Francis Group, LLC.
- [29]- Valentin, J., (2006). Low Dose Extrapolation of Radiation-Related Cancer Risk. Elsiver.
- [30]- Hendee W. R. and Edwards F. M. (1996). Health Effects of Exposure to Low-Level Ionizing Radiation. Published by Institute of Physics Publishing, London.
- [31]- Chen C. Z. and Watt D. E. (1985). Biophysical Mechanisms of Damage by Fast Ions to Mammalian Cells in Vitro. *Phy. Med. Biol.* 30(3): 255-258.
- [32]- Harder D. (1988). Restricted LET Remains a Good Parameter of Radiation Quality. *Radiat. Prot. Dosimetry*. 23(1/4): 79-82.
- [33]- protons in V79 cells. *International Journal of Radiation biology*, 59, 459-564.
- [34]- Belli, M., Cera, F., Cherubini, R., Ianzini, F., Moschini, G., Saporà, O., Simone, G., Tabocchini, M. A. and Tiveron, P., (1992), RBE-LET relationship for survival and mutation induction of V79 cells irradiated with low energy protons: re-evaluation of the LET values at the LNT facility. *International Journal of Radiation Biology*, 61, 145-146.
- [35]- Belli, M., Cera, F., Cherubini, R., Haque, M. A., Ianzini, F., Moschini, G., Saporà, O., Simone, G., Tabocchini, M. A. and Tiveron, P., (1993), Inactivation and mutation induction in V79 cells by low energy protons: re-evaluation of the results at the LNL facility. *International Journal of Radiation Biology*, 63, 331-337.
- [36]- Belli, M., Cera, F., Cherubini, R., Vecchias, M. Dalla, Haques, A. M. I., Ianzini, F., Moschini, G., Saporà, O., Simone, G., Tabocchini, M. A. and Tiverons, P., (1998), RBE-LET relationships for cell inactivation and mutation induced by low energy protons in V79 cells: further results at the LNL facility. *International Journal of Radiation Biology*, 72, 111-117.
- [37]- Watt, D. E., (1996). Quantities for Dosimetry of Ionizing Radiations in Liquid Water. N.p.: Tylor and Francis.
- [38]- Lehnert, S., (2007). Biomolecule Action of Ionizing Radiation. Tylor and Francis Group, LLC.
- [39]- Valentin, J., (2006). Low Dose Extrapolation of Radiation-Related Cancer Risk. Elsiver.
- [40]- Hendee W. R. and Edwards F. M. (1996). Health Effects of Exposure to Low-Level Ionizing Radiation. Published by Institute of Physics Publishing, London.
- [41]- Chen C. Z. and Watt D. E. (1985). Biophysical Mechanisms of Damage by Fast Ions to Mammalian Cells in Vitro. *Phy. Med. Biol.* 30(3): 255-258.
- [42]- Harder D. (1988). Restricted LET Remains a Good Parameter of Radiation Quality. *Radiat. Prot. Dosimetry*. 23(1/4): 79-82.
- [43]- protons in V79 cells. *International Journal of Radiation biology*, 59, 459-564.
- [44]- Belli, M., Cera, F., Cherubini, R., Ianzini, F., Moschini, G., Saporà, O., Simone, G., Tabocchini, M. A. and Tiveron, P., (1992), RBE-LET relationship for survival and mutation induction of V79 cells irradiated with low energy protons: re-evaluation of the LET values at the LNT facility. *International Journal of Radiation Biology*, 61, 145-146.
- [45]- Belli, M., Cera, F., Cherubini, R., Haque, M. A., Ianzini, F., Moschini, G., Saporà, O., Simone, G., Tabocchini, M. A. and Tiveron, P., (1993), Inactivation and mutation induction in V79 cells by low energy protons: re-evaluation of the results at the LNL facility. *International Journal of Radiation Biology*, 63, 331-337.
- [46]- Belli, M., Cera, F., Cherubini, R., Vecchias, M. Dalla, Haques, A. M. I., Ianzini, F., Moschini, G., Saporà, O., Simone, G., Tabocchini, M. A. and Tiverons, P., (1998), RBE-LET relationships for cell inactivation and mutation induced by low energy protons in V79 cells: further results at the LNL facility. *International Journal of Radiation Biology*, 72, 111-117.

Journal of Radiation Biology, **74**, No. 4, 501-509.

- [21]- Watt, D. E., (1996). Quantities for Dosimetry of Ionizing Radiations in Liquid Water. N.p.: Tylor and Francis.  
[22]- <http://www.systat.com>.